

# IV-16 ランガー・ガーダーの固有振動について

熊本大学 正員 吉村虎藏

乙、乙ランガー・ガーダーとは補剛桁をもつランガー橋という。補剛トラスをもつランガー橋の振動実験論文は数多く見られるが、ランガー・ガーダーの振動の実験論文を筆者は知らない。昭和32年6月、熊本市子飼橋ランガー・ガーダー（一車道路橋、支間57.20m、全長9.00m、放物線アーチ、有効巾員7.25m）が九州地方建設局によって架設された直後、13tトラック (=9.2^{\circ} + 3.8^{\circ}) による応力測定<sup>(1)</sup>時の垂記録によれば、使用速度においても、アーチおよび補剛桁中央は、T=0.344 sec. の減衰自由振動をすることが知られる。ランガー橋の振動については、岩藤・安部両氏の理論があり<sup>(2)</sup>、他には補剛トラスをもつランガー橋の自由振動数の計算に Pohlhausen 式の漸近的近似解法<sup>(3)</sup>があるだけである。後者は本橋に適用できないので、前者の理論で計算した結果、T=0.271 sec. を得た。この理論値は実験値と異なるが、乙、乙発表する方法で解析を進めたところ、T=0.356 sec. が得られた。上記理論との相異点は、一次応力計算のときと同様に、アーチを滑節折線アーチとして取扱ったこと、アーチの各節点の水平度位と鉛直度位の両者を併せ考えてエネルギーの式をつくったことである。また、補剛桁の中央附近の垂記録に T=0.432 sec. の現われることにつれて、当日私見を述べたいと思う。

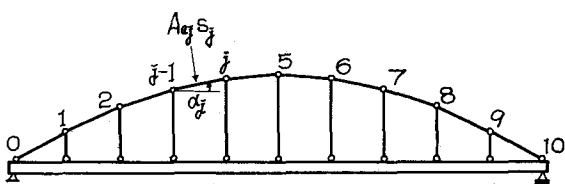


図-1

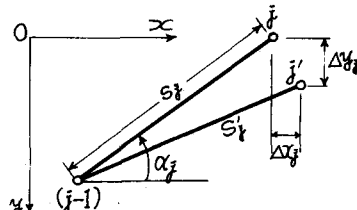


図-2

## [理論の概要]

図-1に示すように、アーチ節点を左端より 0, 1, 2, ..., j-1, j, ..., n と名づけ、接助 (j-1) ~ j の傾斜角、断面積、材長をそれぞれ  $\alpha_j$ ,  $A_{aj}$ ,  $s_j$  とする。この材が変形の後、節点 j が (j-1) に対して、相対的に  $j'$  の位置に移り、図-2に示すごとく  $\Delta x_j$ ,  $\Delta y_j$  なる度位を生じたとすれば、材長  $s_j$  のうち  $\Delta y_j$  は次式にて示される。

$$\Delta s_j = \Delta y_j \sin \alpha_j - \Delta x_j \cos \alpha_j \quad \dots \dots \dots (1)$$

故に、上の変形によつて生ずる接助の軸力および補剛桁の転力は、それを次式で表わされ。

$$\Delta P_j = \frac{A_{aj} E}{s_j} \Delta s_j \quad \dots \dots \dots (2)$$

$$\Delta H = \Delta P_j \cos \alpha_j = \frac{A_{aj} E}{s_j} \cos \alpha_j \Delta s_j \quad \dots \dots \dots (3)$$

2)  $E$  は材のヤング率とし  $\epsilon$ , 上の諸式は,  $j=1, 2, \dots, n$  のひづれに對しても成立す  
ことはいうまでもない。

次に  $\Delta x_j$  を鉛直たわみ  $\gamma_j$  の関数として表わすために,  $\Delta x_j$  と  $\gamma_j$  との關係を求める。アーチの節点の相対水平移動量  $\Delta x_j$  の代数和  $\sum_{i=1}^n \Delta x_i$  は, 補剛杆の伸縮  $\Delta l$  と等しがるべきであ  
る。

$$\sum_{i=1}^n \Delta x_i = \Delta l = \frac{l}{A_g E} \Delta H \quad \cdots \cdots \cdots (4)$$

ただし,  $l$  は格間,  $A_g$  は補剛杆断面積。式(4)に式(3)を入れ, 式(1)の關係を考慮すれば,  
次式が得られる。

$$\frac{A_g E}{l} \sum_{i=1}^n \Delta x_i + C_j \Delta \gamma_j = B_j \Delta y_j \quad (j=1, 2, \dots, n) \quad \cdots \cdots \cdots (5)$$

2)  $k_2$ ,  $B_j = (A_{gj} E / l) \cos \alpha_j \sin \alpha_j$ ,  $C_j = (A_{gj} E / l) \cos^2 \alpha_j$ , 入は格間長を示す。式(5)は  $j=1, 2, 3, \dots, n$  に對して独立の  $n$  個の式で, これを連立解けば, 任意節点の  $\Delta x_j$  は, 全節  
点の  $\Delta y_j$  で表わされることは、なり、次に示すエネルギーの式中(6.2), (6.3)の  $\Delta s_j$  を  $\gamma_j$  の形の  
関数で表わすことができる。

運動エネルギーの最大値は、橋の自重が補剛杆に全部集中分布すると仮え、その単位長  
度の質量を  $\rho$  とし、振動形を  $\gamma = f(x) \cdot \cos(\gamma t + \beta)$  とすれば、

$$T = \frac{1}{2} \rho y^2 \int_0^l y^2 dx \quad \cdots \cdots \cdots (6.1)$$

上の運動エネルギーを算しかねば、位置エネルギーの最大値は次の各項の和として表わ  
される。  
( $n=10$  の場合)

$$\text{挿助(軸力)} \quad V_{ap} = \sum_{j=1}^{10} \frac{1}{2} \Delta P_j \Delta s_j = \sum_{j=1}^{10} \frac{1}{2} \frac{10 \cdot A_{gj} E}{l \sec \alpha_j} (\Delta s_j)^2 \quad \cdots \cdots \cdots (6.2)$$

$$\text{補剛杆(軸力)} \quad V_{AH} = \frac{1}{2} \Delta H \cdot \Delta l = \frac{1}{2} \frac{10 \cdot A_g E}{A_g l \sec \alpha_l} (\Delta s_l)^2 \quad \cdots \cdots \cdots (6.3)$$

$$\text{補剛杆(曲げ)} \quad V_M = \frac{1}{2} EI \int_0^l \left( \frac{dy}{dx} \right)^2 dx \quad \cdots \cdots \cdots (6.4)$$

ただし、式(6.3)は片1挿助で表現したが、他の挿助で表現してもよし、(6.4)式の I は補剛杆  
の断面2次モーメント。また、吊材の伸縮を無視して、補剛杆とアーチは同じ鉛直振動を  
すると考えたため、吊材の運動エネルギーは一応無視する。

今規準関数とし  $y(x) = a_1 \sin \frac{\pi x}{l} + a_3 \sin \frac{3\pi x}{l}$  を3対称振動について、式(5)をつくるば、  
表-1の座立方程式が得られ、これを解く(6.2), (6.3)  
に入れ、振動軟減最小となる3種條件を入れば、振  
動軟減式が得られる、これが  $\nu = 17.63$ ,  $T = 0.365 \text{ sec}$ .  
を得る。

子飼橋。実験は丸尾純平工事監修会長吉賀清四郎  
氏の原意により行なわれたが、本多福井、清田鉄蔵、松井・  
川本助教授、丸尾北村健太郎氏の協力を得た。了承して謝意を  
表す。

- (註) (1) 第4回道路会議, (2) 土研報告 Vol. 23, 84, 総論文集第4号  
(3) 例文書, プラハ 鋼構造の理論と計算, (4) 例文書; (5) 文獻

NO	$\Delta x_1$	$\Delta x_2$	$\Delta x_3$	$\Delta x_4$	$\Delta x_5$	右辺
1	30882	1	1	1	1	1.1828 Δy
2	1	34292	1	1	1	1.0701 Δy
3	1	1	35882	1	1	0.8145 Δy
4	1	1	1	38301	1	0.5344 Δy
5	1	1	1	1	39656	0.1866 Δy (子飼橋の場合)

表-1